

Sorpční vývěvy

princip: vázání plynů a par na povrch a v materiálech k tomu zvláště připravených

koeficient ulpění blízký jedné, doba pobytu co největší
plyn zůstává uvnitř vývěvy(čerpaného prostoru) ve vázaném stavu na sorbuječím povrchu, nebo ve vrstvách pod povrchem
čerpací rychlosť je úměrná velikosti sorbuječího povrchu

Typy vývěv

- kryogenní
- zeolitové
- sublimační
- iontové
- vypařované getry
- nevypařované getry (NEG)

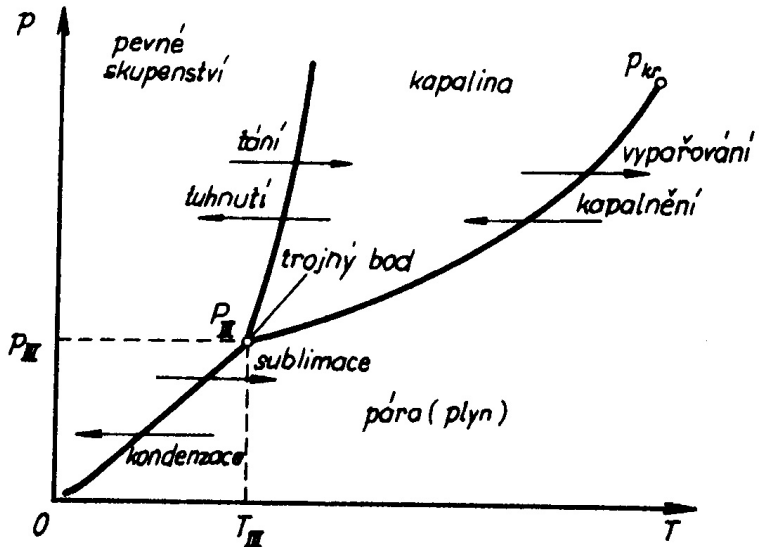
Kryogenní (kryosorpční) vývěvy

Princip: adsorbovaní a kondenzace plynů a par

kryogenní vývěva - teplota < 30 K

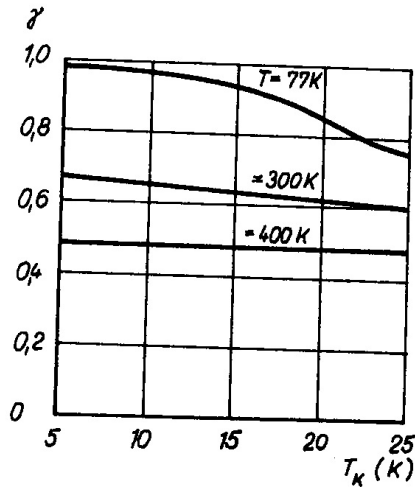
kapalný dusík (77 K) - vymrazovačka

Kryogenní vývěvy se zpravidla používají na získání ultravakua, uvádí se do činnosti až po získání nízkého vakua jiným typem vývěv (difúzní, turbomolekulární,...)



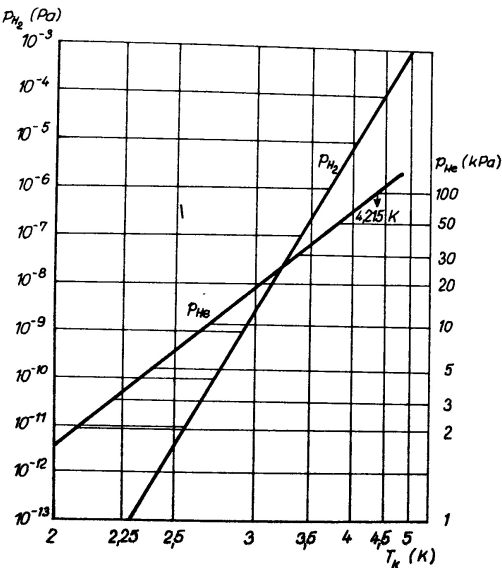
Tab. 4.10. Body varu a tání některých plynů a par a kapalného vzduchu
(při atmosférickém tlaku)

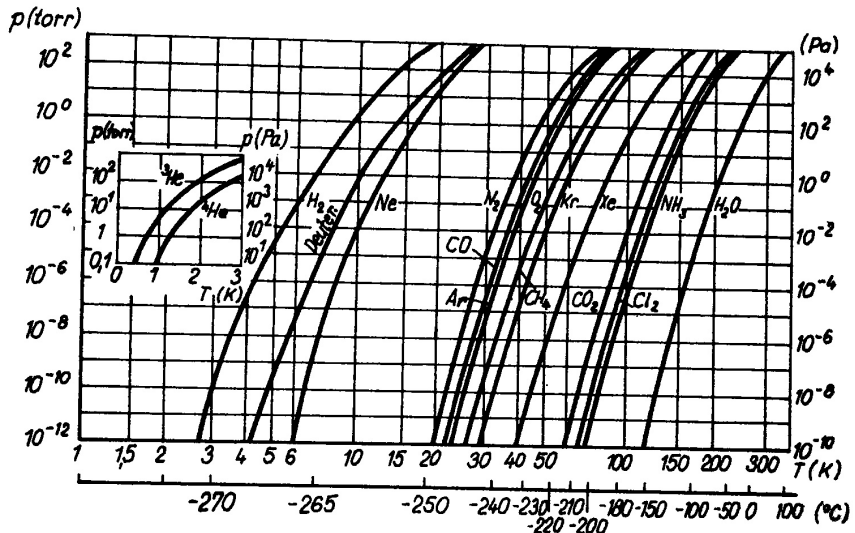
| Plyn (pára) | Bod varu | | Bod tání | |
|---|---------------------|--------|----------|--------|
| | (K) | (°C) | (K) | (°C) |
| He | 4,2 | -269,9 | 1,2 | -272 |
| H ₂ | 20,4 | -252,8 | 14,2 | -259 |
| Ne | 27,2 | -245,9 | 24,2 | -249 |
| N ₂ | 77,3 | -195,8 | 63,2 | -210 |
| CO | 81,6 | -191,5 | 66,2 | -207 |
| Ar | 87,3 | -185,9 | 83,9 | 189 |
| O ₂ | 90,2 | -183 | 54,2 | 219 |
| CH ₄ | 11,8 | -161,4 | 89,1 | -184 |
| Kr | 121,0 | -152,1 | 116,2 | -157 |
| NH ₃ | 139,7 | -33,4 | 196,1 | -77 |
| Xe | 165,1 | -108 | 161,2 | -112 |
| CO ₂ | 194,7 ¹⁾ | -78,5 | - | - |
| H ₂ O | 373,1 | 100 | 273,2 | 0 |
| Hg | 630 | 357 | 234,2 | -38,9 |
| kapalný vzduch ²⁾ | | | | |
| iñned po zkapalnìní (22 % O ₂ , 78 % N ₂) | ~80 | ~ -193 | ~60 | ~ -213 |
| po odpaření dusíku | | | | |
| 100 % O ₂ | 90,2 | -183 | 54,2 | -219 |



koef.ulpění pro dusík s různou teplotou ³

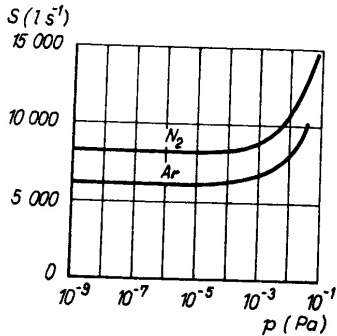
³J. Groszkowski: Technika vysokého vakua, SNTL, Praha 1981



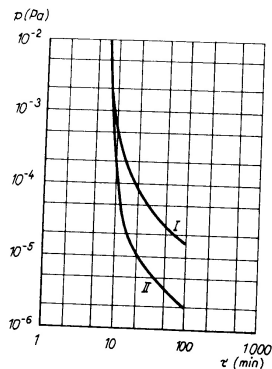


Tab. 4.11. Tlak některých plynů čerpaných kryogenními vývěvami nebo vymrazovačkami

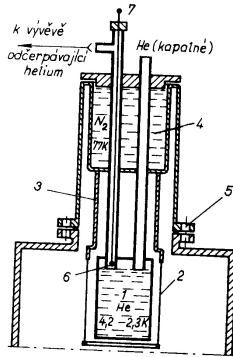
| Čerpaný plyn | Bod varu (K) | Tlak plynu (Pa) čerpaného vývěvou chlazenou kapalným | | | | tuhým |
|------------------|--------------|--|-----------------------|-----------|-----------------------|-------------|
| | | He 4,2 K | H ₂ 20,4 K | Ne 27,2 K | N ₂ 77,3 K | |
| He | 4,2 | 101 000 | > 101 000 | > 101 000 | > 101 000 | > 101 000 |
| H ₂ | 20,4 | $4,6 \cdot 10^{-5}$ | 101 000 | > 101 000 | > 101 000 | > 101 000 |
| Ne | 27,2 | — | 60 000 | 101 000 | > 101 000 | > 101 000 |
| N ₂ | 77,3 | — | $3 \cdot 10^{-9}$ | 10^{-4} | 101 000 | > 101 000 |
| CO | 81,6 | — | $5 \cdot 10^{-11}$ | 10^{-5} | 68 000 | > 101 000 |
| Ar | 87,3 | — | $7 \cdot 10^{-11}$ | 10^{-5} | 31 000 | > 101 000 |
| O ₂ | 90,2 | — | $1,3 \cdot 10^{-11}$ | 10^{-6} | 24 000 | > 101 000 |
| CH ₄ | 112 | — | — | 10^{-8} | 10^3 | > 101 000 |
| Kr | 121 | — | — | — | 133 | > 101 000 |
| NH ₃ | 140 | — | — | — | 10^3 | > 101 000 |
| Xe | 165 | — | — | — | 10^{-1} | > 101 000 |
| CO ₂ | 195 | — | — | — | 10^{-6} | > 101 000 |
| H ₂ O | 373 | — | — | — | — | 101 000 |
| Hg | 630 | — | — | — | — | $< 10^{-1}$ |
| | | | | | — | $< 10^{-6}$ |



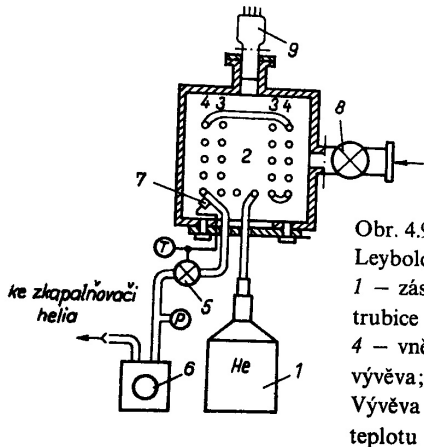
Obr. 4.89. Čerpací charakteristiky kryogenní vývěvy s plochou chlazené stěny $2\,000\text{ cm}^2$ při teplotě 15 K pro dusík a argon



Obr. 4.94. Pokles tlaku ve vakuovém systému při čerpání difúzní vývěvou (I) a čerpací soustavou skládající se z difúzní a kryogenní vývěvy (II)



Obr. 4.95. Heliem chlazená kryogenní vývěva se stíněním chlazeným dusíkem
 1 – zásobník kapalného helia; 2 – válec;
 3 – válcová spojovací součást s velkou
 tepelnou vodivostí; 4 – zásobník kapalného
 dusíku; 5 – příruby; 6 – detektor výšky
 hladiny helia; 7 – průchodka detektoru



Obr. 4.96. Heliem chlazená kryogenní vývěva (firma Leybold)

1 – zásobník kapalného helia; 2 – dvojitá šroubovicová trubice chlazená kapalným heliem; 3 – vnitřní závit; 4 – vnější závit; 5, 8 – ventily; 6 – rotační olejová vývěva; 7 – termočlánek; 9 – ionizační vakuometry. Vývěva čerpá páry kapalného helia a snižuje tak jeho teplotu

Moderní kryogenní vývěvy

- plynné He
- uzavřený okruh He
- nejnižší teploty 10 - 20 K
- není potřeba LN₂
- mezní tlak $< 10^{-11} \text{ hPa}$
- chlazení - Gifford-McMahon/Solvay cyklus,...

Gifford-McMahon

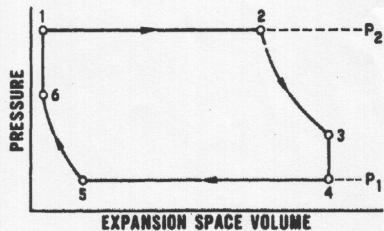
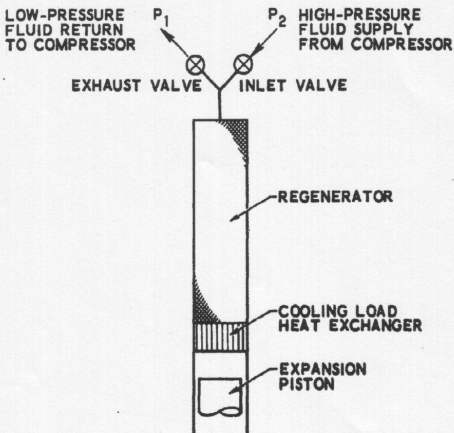
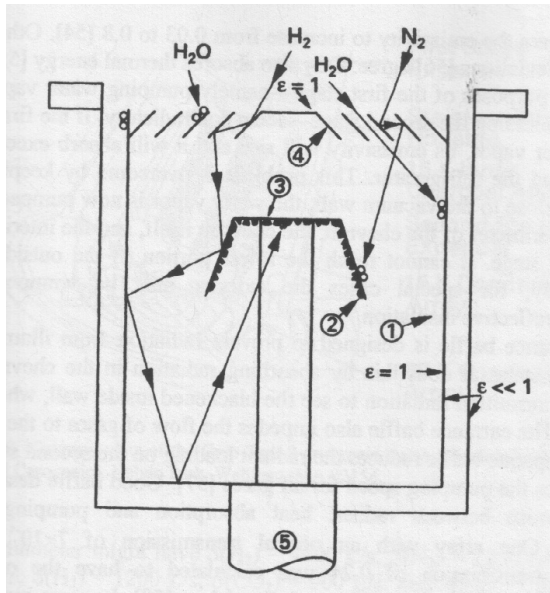


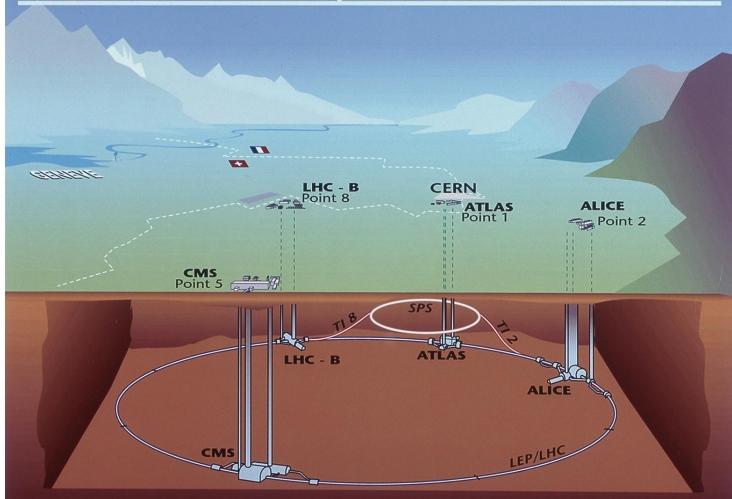
Fig. 2-7. Solvay Refrigeration Cycle

- kryokondenzace (většina plynů)
- kryosorpce (Ne , H_2 , He)
- kryotrapping efekt (porézní vrstva kondenzovaného plynu)
- může pracovat od atmosférického tlaku
- chlazení typicky He , H_2
- získávání vysokého a extrémně vysokého vakua
- velká čerpací rychlosť
- mezní tlak vývěvy je dán tenzí par čerpaného plynu při teplotě kondenzační stěny
- po určité době provozu nutná regenerace



LHC

Overall view of the LHC experiments.



LHC

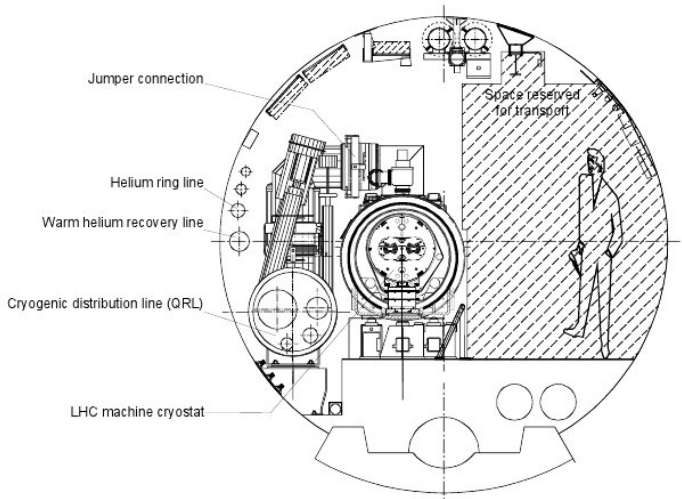
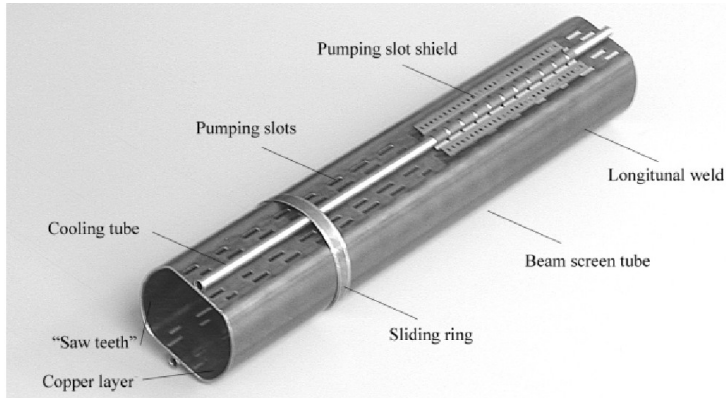


Figure 11.1: Transverse cross-section of the LHC tunnel

LHC



průměr asi 45 mm, 1 mm nerez ocel + $75\mu\text{m}$ Cu, 5-20 K, 14

¹⁴<http://lhc.web.cern.ch/lhc/>

Fyzika nízkých teplot

- 1876 zkapalnění vzduchu
- 1908 zkapalnění He

Literatura:

- internet
- J.Jelínek, Z. Málek: Kryogenní technika, SNTL, Praha, 1982

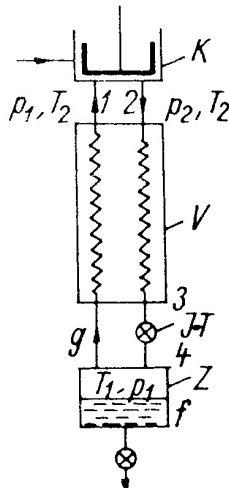
Tab. 4.3. Inverzní teploty T_i Jouleova–Thomsonova jevu pro kryogenní plyny

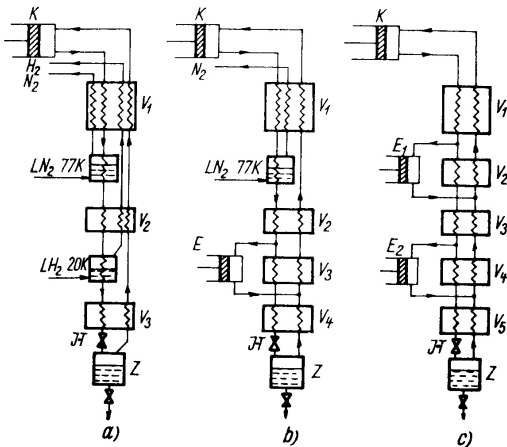
| Plyn | O ₂ | Ar | N ₂ | Ne | D | H ₂ | ⁴ He | ³ He |
|-----------|----------------|-----|----------------|-----|-----|----------------|-----------------|-----------------|
| T_i (K) | 770 | 725 | 620 | 250 | 215 | 204 | 46 | 39 |

teplota, kdy se plyn chová jako ideální plyn ¹⁵

¹⁵J.Jelínek, Z. Málek: Kryogenní technika, SNTL, Praha, 1982

Zkapalňovač LN_2





Obr. 15. Schémata tří systémů využívaných pro zkapalňování He: a) Zkapalňovač s předchlazením He v lázni LN_2 a LH_2 , b) zkapalňovač s předchlazením He lázni LN_2 a s jedním expandérem, c) zkapalňovač pracující bez předchlazení – využívající dvou expandérů (K kompresor, V_1 až V_5 protiproudé tepelné výměníky, E expandéry, Z zásobník LHe, J-T Jouleův–Thomsonův ventil)

Měření nízkých teplot

Definice:

Pro každý systém existuje jistá intenzivní stavová veličina - teplota, mající stejnou hodnotu ve všech systémech, které jsou navzájem v rovnováze.

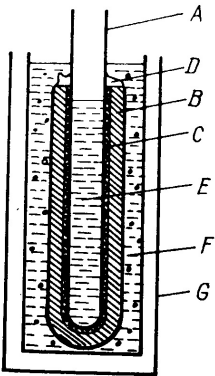
Mezinárodní praktická teplotní stupnice ITS-90, www.ITS-90.com.

17 pevných teplotních bodů 3 - 1357.77 K

- plynové teploměry
- polovodičové teploměry
- odporové teploměry
- ...

ITS90

| Number | Temperature T90 [K] | t90 [°C] | Substance a | State b |
|--------|------------------------|--------------------|--------------------------|---------|
| 1 | 3 to 5 | -270.15 to -268.15 | He | V |
| 2 | 13.8033 | -259.3467 | e-H ₂ | T |
| 3 | 17 | -256.15 | e-H ₂ (or He) | V |
| 4 | 20.3 | -252.85 | e-H ₂ (or He) | V |
| 5 | 24.5561 | -248.5939 | Ne | T |
| 6 | 54.3584 | -218.7916 | O ₂ | T |
| 7 | 83.8058 | -189.3442 | Ar | T |
| 8 | 234.3156 | -38.8344 | Hg | T |
| 9 | 273.16 | 0.01 | H ₂ O | T |
| 10 | 302.9146 | 29.7646 | Ga | M |
| 11 | 429.7485 | 156.5985 | In | F |
| 12 | 505.078 | 231.928 | Sn | F |

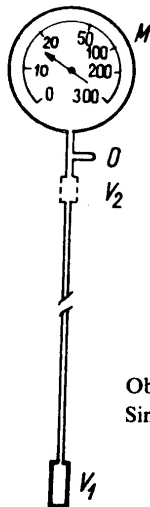


Obr. 53. Realizace trojného
bodu vody (273,16 K)

B - odplyněná, redestilovaná voda, F - voda a tající led, C - led, D - vodní pára, po několika hodinách,
v části E teplota trojného bodu $273.16\text{ K} \pm 0.2\text{ mK}$ ¹⁸

¹⁸J.Jelínek, Z. Málek: Kryogenní technika, SNTL, Praha, 1982

Měření nízkých teplot

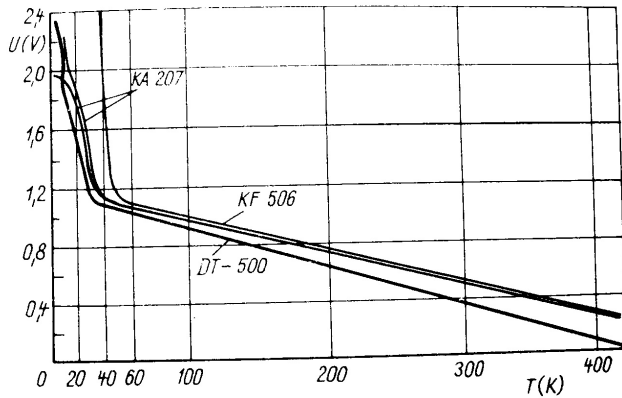


Obr. 36. Jednoduchý
Simonův plynový teploměr

plyn He (ideální plyn) referenční tlak a teplota T_0 , p_0

$$T = T_0 \frac{p}{p_0}$$

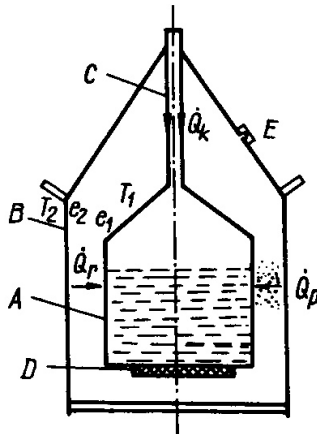
za předpokladu $V_2 \doteq 0$ rozsah měřených teplot 1-300 K



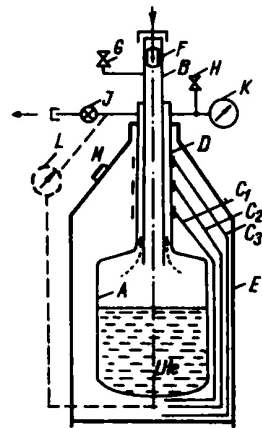
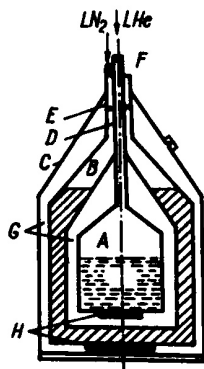
Obr. 50. Teplotní závislost spádu napětí na Si diodě DT-500 při proudu $10 \mu\text{A}$ v propustném směru [123], na dvou čs. Si diodách KA 207 a na čs. Si tranzistoru KF 506 (báze-emitor) při proudu $50 \mu\text{A}$ (diody) a $150 \mu\text{A}$ (tranzistor) v propustném směru [124]

Tepelná izolace

- Dewarovy nádoby
- Super izolace
- Pěnová izolace



Obr. 67. Jednoduchá
Dewarova nádoba pro
přechovávání LN_2



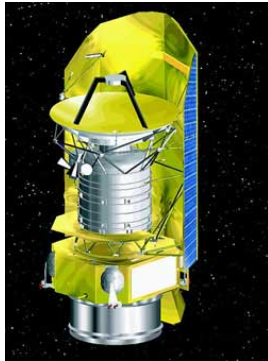
Aplikace fyziky nízkých teplot

- Vakuová fyzika
- Vědecké přístroje
- Biologie a medicína
- Supravodiče
- Raketová technika
- Doprava
- Ostatní aplikace

Vědecké přístroje

- chlazení detektorů CCD pro OES
- chlazení detektorů pro infračervenou spektrometrii
- chlazení výkonových laserů - HILASE - 150 K - 30 m/s
- supravodivé magnety
- kryostaty

Herschel Space Observatory



- start 14.5.2009, raketou Ariane 5
- váha 3.3 t, umístění L2,
- primární zrcadlo má průměr 3.5 m
- 2300 l - LHe, 1.4K
- předpokládaná životnost 3 roky
- 29.4.2013 - mise ukončena

Biologie a medicína

- dlouhodobé skladování virů a bakterií
- dlouhodobé skladování bio-preparátů
- dlouhodobé skladování semen
- kryoskalpel - chladící rychlosť $1300\text{ }^{\circ}\text{C/min}$
- celotělová kryoterapie, $-110\text{ }^{\circ}\text{C}$ až $-160\text{ }^{\circ}\text{C}$, asi 3 minuty

Supravodiče ²⁴

- přenos energie - Holbrook Superconductor Project - 600 m, LN₂ - 49 000 l
- supravodivé motory
- akumulace energie - stabilizace el.sítě
Superconducting Magnetic Energy Storage (SMES) - 1 MWh, testují se 20 MWh
- LHC - NbTi(9K) - chlazen na 1.9 K,
havárie 19.9.2008, při proudu 8.7 kA, provozní proud 9.3 kA,
rekonstrukce 700 m, ztráta 6 t He, celkové množství asi 120 t

²⁴<http://www.superconductors.org/>



25

²⁵<http://cs.wikipedia.org/wiki/Soubor:CERN-cables-p1030764.jpg>

Raketová technika



26

okysličovadlo - LO_2 , 90 K
palivo u některých raket - LH_2 , 20 K

- vojenské rakety - V2 - LO_2 4910 kg,
vyrobeno asi 5200 kusů;...
- civilní rakety - Saturn V, N1, Soyuz, ...

²⁶<http://en.wikipedia.org/wiki/File:N1%2BSaturn5.jpg>

Doprava

- MAGLEV - první patent 1905
 - 2015 rychlostní rekord 603 km/h
 - délka tras - Japonsko 9 km, Čína 30 km, Jižní Korea 1 km
 - 5 tras ve výstavbě
- Vactrain
 - první zmínky 1910 - R.Goddard
 - Swissmetro - projekt zastaven
 - Transatlantic tunnel
 - Hyperloop - max. 1300 km/h, 100 Pa,
vzduchový polštář, 35 min - 570 km, projekt 2012
nepoužívá nízké teploty

MAGLEV



27

²⁷<http://cs.wikipedia.org/wiki/Soubor:JR-Maglev-MLX01-2.jpg>

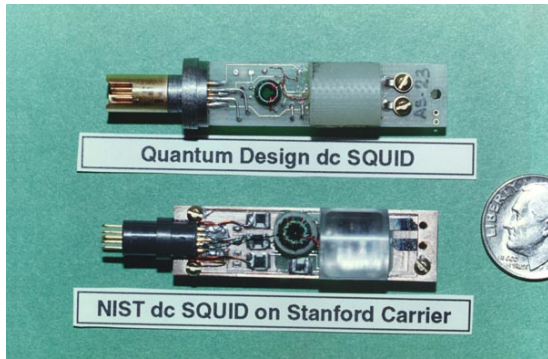
- doprava zemního plynu LNG, teplota $-160\text{ }^{\circ}\text{C} \doteq 113\text{ K}$ (CH_4), počet zkapalňovacích stanic - 35
Evropa - 25 přístavů pro příjem LNG,
typická délka cesty tankeru 20 dnů - odpar asi 2 - 6 %
- letadla - bezpilotní Boeing Phantom Eye

Ostatní aplikace

- skladování potravin
- při záplavách - záchrana knih a dokumentů
- detektory magnetického pole - SQUID
- kvantové počítače - supravodiče
- teleportace - Boseho-Einsteinův kondenzát - Rb, 170 nK
- získávání vody
- akumulace energie
- velká spotřeba plynu - LN₂, LAr

SQUID

- Josephson jev - supravodič-izolátor-supravodič
- magnetometr $5 \times 10^{-18} T$, (mag. pole Země 25-65 μT)



Získávání vody ze vzduchu

Princip - kondenzace

Zařízení firmy Aqua Sciencis - vírová trubice,

na výstupu teplota až -46°C

4500 litrů denně



29

²⁹<http://www.osel.cz/index.php?clanek=2499>

Vojenské aplikace

- chlazení infra detektorů
- rakety - LO₂
- AIP pohon pro ponorky - palivové články - Type 212, 214,..
- magnetometry SQUID
- kvantové počítače